

5. Желтов Ю. П., Христианович С. А. О гидравлическом разрыве нефтеносного пла-  
ста // Изв. АН СССР. ОТН.— 1955.— № 5.

г. Новосибирск

Поступила 29/IV 1991 г.

УДК 539.12.04+531.78

A. P. Степовик

## О КОЭФФИЦИЕНТЕ ГРЮНАЙЗЕНА ПИРОЛИТИЧЕСКОГО УГЛЕРОДА УПВ-1

В последние годы интенсивно развивается направление, связанное с изучением механических свойств материалов при быстром выделении в них энергии лазерного излучения, электронного, пучков ионов и т. д. [1—3]. Поглощение энергии за времена, много меньшие механической инерционности материала, приводит к возникновению в нем термоупругих напряжений. Применение источников излучения с различными спектром и величиной переноса энергии, использование материалов с разной поглощающей способностью дают возможность исследовать процесс распространения волн напряжений различной длительности по материалу, измерять его термодинамические и упругие параметры, а при достаточной поглощенной энергии — изучать откольные явления [4, 5].

Связь между возникающим термоупругим напряжением  $\sigma$  и поглощенной энергией излучения  $E$  выражается через известное соотношение [6]  $\sigma = \Gamma(T, V)\rho E$  ( $\Gamma$  — коэффициент Грюнайзена облучаемого материала,  $\rho$  — его плотность).

Для большинства однородных изотропных тел в диапазоне температур выше  $\sim 0,3 \Theta$  ( $\Theta$  — температура Дебая)  $\Gamma$  слабо зависит от температуры [7] и может быть выражен как [6]

$$\Gamma = \beta c_0^2 / c_V,$$

где  $\beta$  — коэффициент объемного теплового расширения;  $c_V$  — удельная теплоемкость;  $c_0$  — скорость звука, определяемая сжимаемостью.

Для анизотропных тел  $\Gamma$  не является константой и для каждого направления в материале величина его будет различной.

Один из удобных материалов для изучения зависимости  $\Gamma$  от степени анизотропии материала — пиролитический графит, получаемый путем осаждения метана на горячую поверхность графита [8]. Он представляет собой поликристаллический материал с большим количеством кристаллитов, имеющих предпочтительную ориентацию осей, которая зависит от способа изготовления и обработки материала [9].

В [9, 10] проведены измерения на установке с импульсным электронным пучком коэффициента  $\Gamma$  в двух взаимно перпендикулярных направлениях пиролитических графитов PG1, PG2, PG3 и высокоанизотропного графита CAPG. Получено, что если у PG1, PG2 и PG3 для направлений параллельно и перпендикулярно плоскости осаждения углерода отличаются только значения  $\Gamma$ , то для CAPG изменяется и знак.

В настоящей работе излагаются результаты измерений коэффициента Грюнайзена отечественного пиролитического углерода (пироуглерода) УПВ-1. Измерения проведены на установке, по типу и принципу работы аналогичной [11], с выведенным в атмосферу электронным пучком. Длительность импульса электронов на полувысоте  $\sim 1,3 \cdot 10^{-7}$  с, максимальная энергия их  $\sim 1$  МэВ, средняя энергия  $0,3 \dots 0,5$  МэВ.

Было изготовлено два образца диаметром 60 мм и толщиной 10 мм с различной ориентацией плоскостей по отношению к направлению осаждения углерода: перпендикулярно и параллельно плоскости осаждения. Толщина образцов превышала величину практического пробега электронов с максимальной энергией  $\sim 2$  мм. Поскольку исходная заготовка

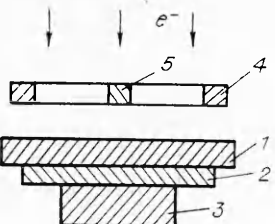


Рис. 1

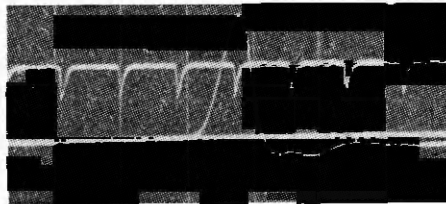


Рис. 2

пироуглерода имела толщину  $\sim 7$  мм, образцы изготавливали из отдельных пластин, вырезанных в нужном направлении, которые затем соединяли тонким слоем (30 ... 40 мкм) эпоксидного клея.

К полученным образцам 1 (рис. 1) приклеивали пластину плавленого кварца 2 толщиной 6 мм и диаметром 50 мм, а к ней — пьезодатчик 3 (пьезокерамику ЦТС-19 диаметром 30 мм и толщиной 13 мм). Пластина плавленого кварца необходима для повышения помехоустойчивости измерений. Пучок электронов падал на свободную лицевую поверхность образца.

Регистрировали величину переноса энергии электронов, падающего на образец, и амплитуду механического напряжения, действующего на пьезодатчик.

Величину переноса энергии измеряли по разогреву стальных калориметров полного поглощения: кольцевого 4 с наружным диаметром 57 мм и внутренним 45 мм и центрального 5 диаметром 6 мм.

Поскольку величина пробега электронов в УПВ-1 существенно меньше толщины образца, из облученного объема будет распространяться в направлении датчика биполярный импульс напряжения с фазами сжатия и растяжения. Информация о знаке и значении Г содержится в фазе, возглавляющей биполярный импульс, так как вторая фаза обусловлена отражением от свободной облучаемой поверхности образца.

Амплитуду напряжения первой фазы биполярного импульса  $\sigma_1$  вычисляли из выражения

$$\sigma_1 = \frac{\sigma_3}{4} \frac{(z_3 + z_2)(z_2 + z_1)}{z_3 z_2},$$

где  $\sigma_3$  — напряжение, действующее на пьезодатчик;  $z_3, z_2, z_1$  — акустические импедансы материала датчика, плавленого кварца и образца соответственно;  $z = \rho v$ ;  $v$  — скорость звука в материале.

Скорость звука в направлениях  $a$  и  $c$  ( $a$  — вдоль плоскости осаждения углерода,  $c$  — перпендикулярно ей) была измерена по времени прохождения импульса механического напряжения по толщине образцов. Характерный вид осциллограммы, регистрируемой с помощью пьезодатчика, приведен на рис. 2. Длительность меток 0,4 мкс. Положительный сигнал — профиль термоупругого напряжения.

Коэффициент Грюнайзена пироуглерода определяли путем сравнения с коэффициентом Грюнайзена известного материала при одинаковой величине переноса энергии электронов. С этой целью изготовлена такая же слойка: образец — плавленый кварц — пьезокерамика, где в качестве образца выбран сплав АМГ6 ( $\Gamma$  алюминия равен 2,09 [6]). Выбор этого сплава обусловлен также тем, что средний атомный номер элементов, из которых он состоит, и плотность близки к углероду, поэтому и профили энерговыделений электронов в этих материалах должны быть близкими (средние потери энергии при неупругих соударениях на 1 см пути электронов с энергией 0,5 МэВ отличаются менее чем на 10%). Величина переноса энергии электронов, падающего на образец, не превышала 6 ... 8 Дж/см<sup>2</sup>. При таких уровнях энергии максимальный разогрев пироуглерода составлял несколько градусов, т. е. температура образца практически не изменялась и была близка к комнатной ( $\sim 300$  К).

Материал	Направление			
	<i>c</i>		<i>a</i>	
	<i>Г</i>	<i>v, см/мкс</i>	<i>Г</i>	<i>v, см/мкс</i>
УПВ-1	0,26+0,04	0,36+0,04	0,17+0,03	0,53+0,05
PG1	0,3+0,03	0,33+0,05	0,3+0,03	0,65+0,05
PG2	0,29+0,02	0,35+0,05	0,32+0,03	0,55+0,05
PG3	0,3	0,36	0,2	0,61
CAPG	0,48+0,03	0,38+0,05	-0,99+0,15	2,2+0,4

В таблице приведены измеренные значения коэффициента Грюнайзена и скорости звука пироуглерода УПВ-1, а также для сравнения аналогичные данные [9, 10] при температуре 300 К. Из таблицы видно, что характеристики УПВ-1 близки к PG2 и PG3 и значительно отличаются от CAPG. Действительно, из всех этих материалов структура CAPG ближе всего к структуре кристаллического графита. Размеры кристаллитов в материале, приготовленном таким же способом, что и CAPG, достигают в направлении *a* 10 ... 40 мкм [9] и ориентация их наиболее упорядочена. Для сравнения укажем, что, согласно [12], в УПВ-1 кристаллиты имеют размер порядка 0,19 мкм. По способу изготовления из отечественных материалов ближе всего к CAPG пиролитический графит УПВ-1Т.

Данные о коэффициенте Грюнайзена и скорости звука в нем в настоящее время в литературе отсутствуют.

#### ЛИТЕРАТУРА

1. Oswald R. B., Schallhorn D. R., Eisen H. A., McLean F. B. Dynamic response of solids exposed to a pulsed-electron-beam // Appl. Phys. Lett.— 1968.— V. 13, N 8.
2. Глушак Б. Л., Новиков С. А. и др. Исследование волн напряжений в стеклотекстолите и фторопласте при их быстром разогреве излучением // ПМТФ.— 1980.— № 6.
3. Воробьев С. А., Лопатин В. С. и др. Разрушение твердого тела в результате облучения сплюснутыми пучками ионов // ЖТФ.— 1985.— Т. 55, вып. 6.
4. Perkin J. L., Morris E., Large D. W. The spalling of aluminum with a pulsed electron beams // J. Phys. D: Appl. Phys.— 1971.— V. 4, N 7.
5. Степовик А. П. Влияние ориентации текстуры исходного материала на характер откольных повреждений сплавов Д16 и АМГ6 // Пробл. прочности.— 1989.— № 5.
6. Зельдович Я. Б., Райзер Ю. П. Физика ударных волн и высокотемпературных гидродинамических явлений.— М.: Наука, 1966.
7. Barron T. N. K. Grüneisen parameter for equation of solids // Ann. Phys. (USA).— 1957.— V. 1, N 1.
8. Лутков А. И., Волга В. И., Дымов Б. К. Теплопроводность, удельное электрическое сопротивление и теплопроводность плотных графитов // ХТТ.— 1970.— № 1.
9. Benson D. A., Gauster W. B. Grüneisen parameter of pyrolytic graphites // Phil. Magazine.— 1975.— V. 31, N 5.
10. Gauster W. B. Elastic constants and Grüneisen parameters of pyrolytic graphite // Phil. Magazine.— 1972.— V. 25, N 3.
11. Ковалев В. П., Кормилицын А. И. и др. ИГУР-1 — электронный ускоритель с индуктивным накопителем энергии и взрывающимися проводниками // ЖТФ.— 1981.— Т. 51, № 9.
12. Кожевников И. Г., Новицкий Л. А. Техофизические свойства материалов при низких температурах: Справочник.— М.: Машиностроение, 1982.

г. Челябинск

Поступила 18/VII 1990 г.,  
в окончательном варианте — 5/VI 1991 г.